



Servicio Geológico Mexicano  
Centro de documentación  
en Ciencias de la Tierra



# SERVICIO GEOLÓGICO MEXICANO BIBLIOTECA - CEDOCIT

Puente de Tecamachalco No.26, Col.Lomas de Chapultepec, Del.Miguel Hidalgo, 11000 México, D.F. E-mail: bibliocrm@sgm.gob.mx

Revisión y autorización: Julio Vélez López [jvelez@sgm.gob.mx](mailto:jvelez@sgm.gob.mx)

Edición: Laura Nava Pérez

Formación y nueva presentación: Laura Nava Pérez y Beatriz Flores D.

## NOVIEMBRE – DICIEMBRE 2008

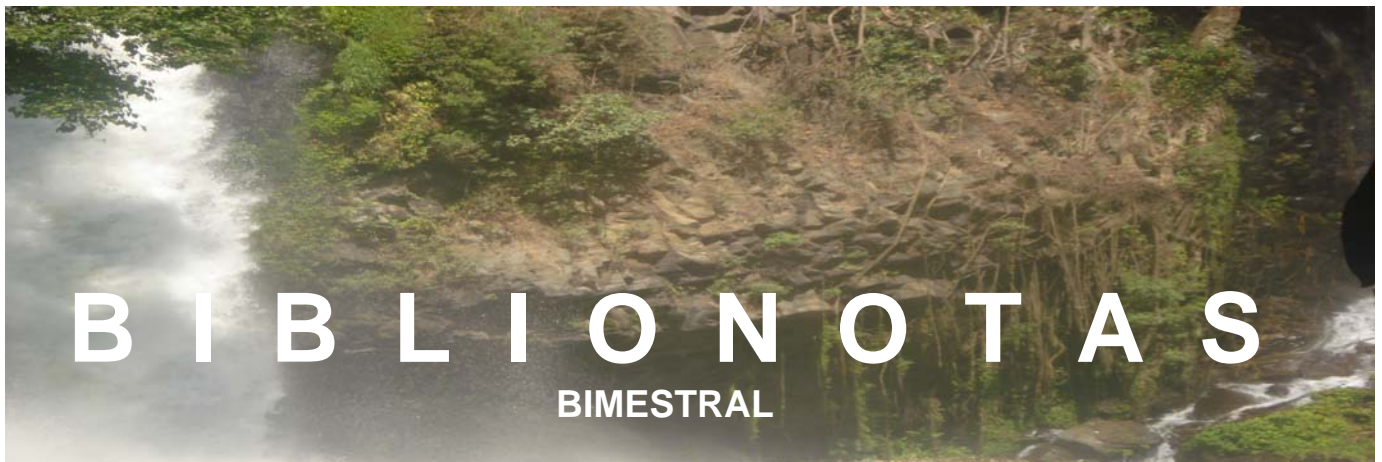


Foto: *Basaltos columnares, Uruapan, Mich.*

**FOLLETO ELECTRÓNICO DE DIVULGACIÓN INTERNA CON NOVEDADES BIBLIOGRÁFICAS EN CIENCIAS DE LA TIERRA**

Foto: Laura Nava P. Dic. 08

## CONTENIDO

<b><u>NUEVAS ADQUISICIONES</u></b> .....	3
<b><u>PUBLICACIONES Y ARTÍCULOS EN LÍNEA</u></b> .....	3
<b><u>BIBLIOGRAFÍA SOBRE MÉXICO</u></b> .....	4
<b><u>PUBLICACIONES EN SUSCRIPCIÓN / EN LÍNEA</u></b> .....	5
<b><u>OTRAS PUBLICACIONES</u></b> .....	21
<b><u>PUBLICACIONES QUE CONTIENEN PRECIOS DE MINERALES</u></b> .....	24

## NUEVAS ADQUISICIONES

*Puede solicitar en préstamo cualquiera de los ejemplares a nuestra Biblioteca*

AÑO	TÍTULO	PUBLICADO POR:	NÚMERO DE PÁGINAS	OBSERVACIONES
1997	Contribuciones a la oceanografía física en México	Unión Geofísica Mexicana	272	Monografía No. 3
1993	Contribuciones a la tectónica del occidente de México	Unión Geofísica Mexicana	372	---
1997	Extinción masiva del límite Cretácico-Terciario: mitos y realidades	Unión Geofísica Mexicana	174	---
2005	Fifth Hutton Symposium: the origin of granites and related rocks	Geological Society of America	390	Special Paper 389
2005	Geoenvironmental Mapping: Method, Theory and Practice	CRS	725	---
2006	Global tectonics	Blackwell	333	---
2007	Groundwater and the environment	Blackwell	318	---
2007	Handbook of gold exploration and evaluation	CRS	647	---
2004	Neogene-Quaternary continental margin volcanism. Proceedings of the GSA Penrose Conference at Metepec, Puebla, Mexico	UNAM Instituto de Geología	136	---

Regresar al [CONTENIDO](#)

## PUBLICACIONES Y ARTÍCULOS EN LÍNEA

- **Boletín del Instituto Geológico de México 1896, "Bosquejo Geológico de México"**  
**José G. Aguilera.** Este boletín es para aquellos que gustan de la lectura antigua con los clásicos de la Geología  
[ACCESAR AL BOLETÍN](#)
- **Estudio Sedimentológico de la Laguna Costera Santa Rosa, Sonora, México,** .Este artículo trata del análisis de la distribución de las facies sedimentológicas, identificando la textura, fisico-química, química y mineralogía para ver los parámetros que guardan con los organismos bentónicos y su distribución.  
[ACCESAR AL ARTÍCULO](#)
- **La colección de "minerals" de "John O'Dwyer":** esta página muestra las fotografías de los minerales de esta colección, misma que pongo a su consideración.  
[ACCESAR A LA PÁGINA](#)

- **Determination of seismogenic structures and earthquake magnitu from seismites in the Acequion river, Precordillera Range, central-western Argentina:** Este artículo se enfoca en las evidencias de la ocurrencia de paleoterremotos que generaron estructuras de licuefacción y fenómenos de remoción en masa, durante el Pleistoceno-Holoceno y se discute su probable fuente sismogénica y concluyen que dichas esctructuras y avalanchas se deben a terremotos relacionados a la falla de Cerro Salinas.

[ACCESAR AL ARTÍCULO](#)

Regresar al [CONTENIDO](#)

## BIBLIOGRAFÍA SOBRE MÉXICO

*Puede solicitarlo a la biblioteca*

AÑO/ FECHA	REVISTA/ PUBLICACIÓN	NOMBRE DEL ARTÍCULO/ PUBLICACION/ COMENTARIO	PAG.	OBSERVACIONES
1997	Unión Geofísica Mexicana	Contribuciones a la oceanografía física en México	272	Monografía No. 3
1993	Unión Geofísica Mexicana	Contribuciones a la tectónica del occidente de México	372	----
2004	UNAM INST. DE GEOLOGIA	Neogene-Quaternary continental margin volcanism. Proceedings of the GSA Penrose Conference at Metepec, Puebla, Mexico	136	-----
Noviembre/Diciembre de 2008.	GSA Bulletin. Geological Society of America	Space geodetic imaging of rapid ground subsidence in Mexico City	1556-1566	v.120, No. 11/12,
Noviembre/Diciembre de 2008	AAPG Bulletin	Major structural elements of the Miocene section, Burgos Basin, northeastern Mexico	No. 11 pp 1479-1499	v.92 No. 11
Noviembre/Diciembre de 2008	AAPG Bulletin	Miocene chronostratigraphy, paleogeography, and play framework of the Burgos Basin, southern Gulf of Mexico	No. 11 pp 1501-1535	v.92 No. 11
Octubre 2008	Engineering and Mining Journal,	Farallon Starting Up G-9 Mine in Mexico	12	No. 8
Octubre	Engineering and Mining	Mexico in 2008:	92	No. 8

2008	Journal	Smashing the Stereotypes		
Octubre 2008	Engineering and Mining Journal	Laying Out the Welcome Mat (Coordinador general de Minería y Director del Servicio Geológico Mexicano)	84	No. 8
Octubre 2008	Engineering and Mining Journal	Exploring in México: The Dust Clears, both the Rush Goes On (Director Técnico del Servicio Geológico Mexicano)	98	No. 8
Octubre 2008	Engineering and Mining Journal	Emerging Mid-Caps: Mexico's Newest Producers	104	No. 8
Octubre 2008	Engineering and Mining Journal	Mexico's Miners: Giants Prosper Amidst a Wave of New Companies	110	No. 8
Noviembre/Diciembre 2008	Geomimet	Estudio metalúrgico de concentración gravimetría para un mineral aurífero del Estado de Guerrero.	6	No. 276

Regresar al [CONTENIDO](#)

## PUBLICACIONES EN SUSCRIPCIÓN / EN LÍNEA

[GSA Bulletin](#). Geological Society of America, v.120, No. 11/12, Noviembre/Diciembre de 2008.

[ACCESAR AL No. 11 /12](#)

(El texto completo solo si se consulta en un equipo en red del SGM, activando vínculo en la columna de **acesar**)

<b>GSA BULLETIN</b> <b>GEOLOGICAL SOCIETY OF AMERICA</b> <b>VOL. 120</b>
--

ARTÍCULO	PUBLICACIÓN No.	ACCESAR
Paleogene paleosols and changes in pedogenesis during the initial Eocene thermal maximum: Big Bend National Park, Texas, USA	No.11/12, p. 1347-1361	<a href="#">ARTÍCULO</a>
Isotopic evidence for the diversity of late Quaternary loess in Nebraska: Glaciogenic and nonglaciogenic sources	No.11/12, p. 1362-1377	<a href="#">ARTÍCULO</a>

Origin and paleoclimatic significance of late Quaternary loess in Nebraska: Evidence from stratigraphy, chronology, sedimentology, and geochemistry	No.11/12, p. 1378-1407	<a href="#">ARTÍCULO</a>
Pedogenic carbonate isotopes as evidence for extreme climatic events preceding the Triassic-Jurassic boundary: Implications for the biotic crisis?	No.11/12, p. 1408-1415	<a href="#">ARTÍCULO</a>
Mid-Cretaceous oceanic anoxic events in the Pacific Ocean revealed by carbon-isotope stratigraphy of the Calera Limestone, California, USA	No.11/12, p. 1416-1426	<a href="#">ARTÍCULO</a>
Cenozoic kinematic history of the Kohistan fault in the Pakistan Himalaya	No.11/12, p. 1428-1440	<a href="#">ARTÍCULO</a>
Overriding plate shortening and extension above subduction zones: A parametric study to explain formation of the Andes Mountains	No.11/12, p. 1441-1454	<a href="#">ARTÍCULO</a>
Pressure-temperature paths and exhumation of Late Ordovician–Early Silurian blueschists and associated metamorphic nappes of the Salinic Brunswick subduction complex, northern Appalachians	No.11/12, 1455-1477	<a href="#">ARTÍCULO</a>
The Bikou basalts in the northwestern Yangtze block, South China: Remnants of 820–810 Ma continental flood basalts?	No.11/12, p. 1478-1492	<a href="#">ARTÍCULO</a>
Miocene magmatism and tectonics of the easternmost sector of the Calama–Olacapato–El Toro fault system in Central Andes at ~24°S: Insights into the evolution of the Eastern Cordillera	No.11/12, p. 1493-1517	<a href="#">ARTÍCULO</a>
Dynamics of deformation and sedimentation in the northern Sierras Pampeanas: An integrated study of the Neogene Fiambalá basin, NW Argentina	No.11/12, p. 1518-1543.	<a href="#">ARTÍCULO</a>
Analysis of lineaments and their relationship to Neogene fracturing, SE Viti Levu, Fiji	No.11/12, p. 1544-1555	<a href="#">ARTÍCULO</a>
Space geodetic imaging of rapid ground subsidence in Mexico City	No.11/12, p. 1556-1566	<a href="#">ARTÍCULO</a>
Contributions of floodplain stratigraphy and evolution to the spatial patterns of groundwater arsenic in Arahazar, Bangladesh	No.11/12, p. 1567-1580.	<a href="#">ARTÍCULO</a>
Earthquakes generated from bedding plane-parallel reverse faults above an active wedge thrust, Seattle fault zone	No.11/12, p. 1581-1597	<a href="#">ARTÍCULO</a>
Erratum	No.11/12, p. 1598	<a href="#">ERRATA</a>

[Geology](#). Geological Society of America, v.36. No. 11 y 12, Noviembre y Diciembre/2008.

[ACCESAR A CONTENIDO No.11](#)

[ACCESAR A CONTENIDO No. 12](#)

(El texto completo solo si se consulta en un equipo en red del SGM, activando vínculo en la columna de artículo)

**GEOLOGY**  
**GEOLOGICAL SOCIETY OF AMERICA**  
**VOL. 36**

ARTÍCULO	PUBLICACIÓN No.	ACCESAR
Model for tectonically driven incision of the younger than 6 Ma Grand Canyon	No. 11, p. 835-838 Noviembre 2008.	<a href="#">ARTÍCULO</a>
Late Cretaceous intraplate thrusting in central Europe: Effect of	No. 11, p. 839-842	<a href="#">ARTÍCULO</a>

Africa-Iberia-Europe convergence, not Alpine collision	Noviembre 2008.	
Timing and patterns of basin infilling as documented in Lake Powell during a drought	No. 11, p. 843-846 Noviembre 2008.	<a href="#">ARTÍCULO</a>
Opaline silica in young deposits on Mars	No. 11, p. 847-850 Noviembre 2008.	<a href="#">ARTÍCULO</a>
Finding what is now not there anymore: Recognizing missing fluid and magma volumes	No. 11, p. 851-854 Noviembre 2008.	<a href="#">ARTÍCULO</a>
Ubiquitous Burgess Shale–style "clay templates" in low-grade metamorphic mudrocks	No. 11, p. 855-858 Noviembre 2008.	<a href="#">ARTÍCULO</a>
Eustatic sea-level record for the Cenomanian (Late Cretaceous)—Extension to the Western Interior Basin, USA	No. 11, p. 859-862 Noviembre 2008.	<a href="#">ARTÍCULO</a>
Carbon isotope excursions and the oxidant budget of the Ediacaran atmosphere and ocean	No. 11, p. 863-866 Noviembre 2008.	<a href="#">ARTÍCULO</a>
Eight-armed Ediacara fossil preserved in contrasting taphonomic windows from China and Australia	No. 11, p. 867-870 Noviembre 2008.	<a href="#">ARTÍCULO</a>
Miocene to present kinematics of fault-bend folding across the Huerguosi anticline, northern Tianshan (China), derived from structural, seismic, and magnetostratigraphic data	No. 11, p. 871-874 Noviembre 2008.	<a href="#">ARTÍCULO</a>
Episodic, mafic crust formation from 4.5 to 2.8 Ga: New evidence from detrital zircons, Slave craton, Canada	No. 11, p. 875-878 Noviembre 2008.	<a href="#">ARTÍCULO</a>
Aerobic microbial dolomite at the nanometer scale: Implications for the geologic record	No. 11, p. 879-882 Noviembre 2008.	<a href="#">ARTÍCULO</a>
Chlorine isotope variations across the Izu-Bonin-Mariana arc	No. 11, p. 883-886 Noviembre 2008.	<a href="#">ARTÍCULO</a>
Effects of fluid circulation in subducting crust on Nankai margin seismogenic zone temperatures	No. 11, p. 887-890 Noviembre 2008.	<a href="#">ARTÍCULO</a>
Geomorphic controls on groundwater arsenic distribution in the Mekong River Delta, Cambodia	No. 11, p. 891-894 Noviembre 2008.	<a href="#">ARTÍCULO</a>
Morphology of the Explorer–Juan de Fuca slab edge in northern Cascadia: Imaging plate capture at a ridge-trench-transform triple junction	No. 11, p. 895-898 Noviembre 2008.	<a href="#">ARTÍCULO</a>
Dispersal and biogeography of marine plankton: Long-distance dispersal of the foraminifer <i>Truncorotalia truncatulinoides</i>	No. 11, p. 899-902 Noviembre 2008.	<a href="#">ARTÍCULO</a>
Mid-Cretaceous Hawaiian tholeiites preserved in Kamchatka	No. 11, p. 903-906 Noviembre 2008	<a href="#">ARTÍCULO</a>
Record of climate-driven morphological changes in 376 Ma Devonian fossils	No. 11, p. 907-910 Noviembre 2008	<a href="#">ARTÍCULO</a>
The Origin of Habitats	No. 11, p. 911-912 Noviembre 2008	<a href="#">ARTÍCULO</a>
Rapid exhumation of ice-covered rocks of the Chugach–St. Elias orogen, Southeast Alaska	No. 12, p. 915-918 Diciembre 2008	<a href="#">ARTÍCULO</a>
South Atlantic interocean exchange as the trigger for the Bølling warm event	No. 12, 919-922 Diciembre 2008	<a href="#">ARTÍCULO</a>
Eve of biomineralization: Controls on skeletal mineralogy	No. 12, p. 923-926 Diciembre 2008	<a href="#">ARTÍCULO</a>
Structural evolution of calderas: Insights from two-dimensional discrete element simulations	No. 12, p. 927-930 Diciembre 2008	<a href="#">ARTÍCULO</a>
Contraction-driven shear failure in compacting uncemented sediments	No. 12, p. 931-934 Diciembre 2008	<a href="#">ARTÍCULO</a>
Erratum: Capture of high-altitude precipitation by a low-altitude Eocene lake, western U.S.	No. 12, p. 934 Diciembre 2008	<a href="#">ARTÍCULO</a>
Seismic evidence for orthopyroxene enrichment in the	No. 12, p. 935-938	<a href="#">ARTÍCULO</a>

continental lithosphere	Diciembre 2008	
Newly recognized eastern extension of the Nile deep-sea fan	No. 12, p. 939-942 Diciembre 2008	<a href="#">ARTÍCULO</a>
Earthworms produce granules of intricately zoned calcite	No. 12, p. 943-946 Diciembre 2008	<a href="#">ARTÍCULO</a>
Source of fluids forming distal Zn-Pb-Ag skarns: Evidence from laser ablation–inductively coupled plasma–mass spectrometry analysis of fluid inclusions from El Mochito, Honduras	No. 12, p. 947-950 Diciembre 2008	<a href="#">ARTÍCULO</a>
Rapid response of a hydrologic system to volcanic activity: Masaya volcano, Nicaragua	No. 12, p. 951-954 Diciembre 2008	<a href="#">ARTÍCULO</a>
Anatomy of a young impact event in central Alberta, Canada: Prospects for the missing Holocene impact record	No. 12, p. 955-958 Diciembre 2008	<a href="#">ARTÍCULO</a>
A landslide in Tertiary marine shale with superheated fumaroles, Coast Ranges, California	No. 12, p. 959-962 Diciembre 2008	<a href="#">ARTÍCULO</a>
Extension during continental convergence in the Eastern Alps: The influence of orogen-scale strike-slip faults	No. 12, p. 963-966 Diciembre 2008	<a href="#">ARTÍCULO</a>
Diachronous dawn of Africa's Middle Stone Age: New <sup>40</sup> Ar/ <sup>39</sup> Ar ages from the Ethiopian Rift	No. 12, p. 967-970 Diciembre 2008	<a href="#">ARTÍCULO</a>
Sulfur isotopes in sediment-hosted orogenic gold deposits: Evidence for an early timing and a seawater sulfur source	No. 12, p. 971-974 Diciembre 2008	<a href="#">ARTÍCULO</a>
Biogenic silica and chert in the Pacific Ocean	No. 12, p. 975-978 Diciembre 2008	<a href="#">ARTÍCULO</a>
Multiple sulfur isotopes reveal a magmatic origin for the Platereef platinum group element deposit, Bushveld Complex, South Africa	No. 12, p. 979-982 Diciembre 2008	<a href="#">ARTÍCULO</a>
Grenville Province and Monteregean carbonatite and nepheline syenite distribution related to rifting, collision, and plume passage	No. 12, p. 983-986 Diciembre 2008	<a href="#">ARTÍCULO</a>
Tibetan uplift prior to the Eocene-Oligocene climate transition: Evidence from pollen analysis of the Xining Basin	No. 12, p. 987-990 Diciembre 2008	<a href="#">ARTÍCULO</a>
Subtropical Atlantic salinity variability and Atlantic meridional circulation during the last deglaciation	No. 12, p. 991-994 Diciembre 2008	<a href="#">ARTÍCULO</a>
Stress release in exhumed intermediate and deep earthquakes determined from ultramafic pseudotachylyte	No. 12, p. 995-998 Diciembre 2008	<a href="#">ARTÍCULO</a>
Temporal variation in climate and tectonic coupling in the central Andes	No. 12, p. 999-1002 Diciembre 2008	<a href="#">ARTÍCULO</a>
Surface uplift of Tibet and Cenozoic global cooling	No. 12, p. 1003-1004 Diciembre 2008	<a href="#">ARTÍCULO</a>
Geology Author Index Volume 36	No. 12 p. 1005-1008, Diciembre 2008	<a href="#">ARTÍCULO</a>

[GSA Today](#). Geological Society of America, V. 18. Nos. 11 y 12, Noviembre y Diciembre 2008.

[ACCESAR A CONTENIDO No. 11](#)

[ACCESAR A CONTENIDO No. 12](#)

(En texto completo solo si se consulta en un equipo en red del SGM, activando vínculo en la columna de **accesar**)

Nota: algunos de estos artículos únicamente los podrá ver en PDF (se lo indica el mismo texto al ingresar a ARTÍCULO).

**GSA TODAY**  
**GEOLOGICAL SOCIETY OF AMERICA**  
**VOL. 18**

ARTÍCULO	PUBLICACIÓN No.	ACCESAR
The significance of sheeted dike complexes in ophiolites	No. 11 pp. 4 Noviembre 2008.	<a href="#">ARTÍCULO</a>
Portland 2009	No. 11 pp. 12 Noviembre 2008.	<a href="#">ARTÍCULO</a>
Upcoming Award, Recognition & Grant Deadlines	No. 11 pp. 13 Noviembre 2008.	<a href="#">ARTÍCULO</a>
Rocky Mountain Section Meeting	No. 11 pp. 16 Noviembre 2008.	<a href="#">ARTÍCULO</a>
Integrating Geoscience with Sustainable Land-Use Management	No. 11 pp. 24 Noviembre 2008.	<a href="#">ARTÍCULO</a>
The Rheic Ocean: Origin, Evolution, and Significance	No. 12 pp. 4 Diciembre 2008	<a href="#">ARTÍCULO</a>
Upcoming Award, Recognition & Grant Deadlines	No. 12 pp. 16 Diciembre 2008	<a href="#">ARTÍCULO</a>
2009 GSA Annual Meeting, "From Volcanoes to Vineyards: Living with Dynamic Landscapes"	No. 12 pp. 22 Diciembre 2008	<a href="#">ARTÍCULO</a>
Cordilleran Section Meeting	No. 12 pp. 24 Diciembre 2008	<a href="#">ARTÍCULO</a>
EXTENDED: The Charitable IRA Rollover Act of 2006	No. 12 pp. 28 Diciembre 2008.	<a href="#">ARTÍCULO</a>

**Geophysical Prospecting.** European Association of Geoscientists & Engineers, V.57, No.1 enero 2009

**ACCESAR A CONTENIDO Vol. 57 No. 1**

(El resumen solo si se consulta en un equipo en red del SGM, activando vínculo en la columna de **acesar**)

**GEOPHYSICAL PROSPECTING  
EUROPEAN ASSOCIATION OF GEOSCIENTISTS & ENGINEERS  
VOL. 57**

ARTÍCULO	PUBLICACIÓN No.	ACCESAR
Slowness surface approximations for qSV-waves in transversely isotropic media	No. 1, p. 1-11	<a href="#">RESUMEN</a>
Migration velocity analysis for tilted transversely isotropic media	No. 1, p 13-26	<a href="#">RESUMEN</a>
Addressing non-uniqueness in linearized multichannel surface wave inversion	No. 1, p 27-47	<a href="#">RESUMEN</a>
Comparison of scaling methods for waveform inversion	No. 1, p 49-59	<a href="#">RESUMEN</a>
Effects of uncertainty in rock-physics models on reservoir parameter estimation using seismic amplitude variation with angle and controlled-source electromagnetics data	No. 1, p 61-74	<a href="#">RESUMEN</a>
Testing Gassmann fluid substitution: sonic logs versus ultrasonic core measurements	No. 1, p 75-79	<a href="#">RESUMEN</a>
Velocity variations in carbonate rocks due to dual porosity and wave-induced fluid flow	No. 1, p 81-98	<a href="#">RESUMEN</a>
Forward modelling and inverse problem in the comprehensive interpretation of well logs	No. 1, p 99-109	<a href="#">RESUMEN</a>
Application of the continuous wavelet transform on seismic data for mapping of channel deposits and gas detection at the CO <sub>2</sub> SINK site, Ketzin, Germany	No. 1, p 111-123	<a href="#">RESUMEN</a>

Comparison of surface seismic sources at the CO <sub>2</sub> SINK site, Ketzin, Germany	No. 1, p 125-139	<a href="#">RESUMEN</a>
Thermal effect of magma intrusion on the electrical properties of magnetic rocks from Hammamat sediments, Cairo, Egypt	No. 1, p 141-149	<a href="#">RESUMEN</a>
Pushing the vibrator ground-force envelope towards low frequencies	No. 1, p 151-161	<a href="#">RESUMEN</a>
ERRATUM	No. 1, p 163-163	<a href="#">RESUMEN</a>

[Tectonics](#). American Geophysical Union. Vol. 27, Noviembre y Diciembre de 2008.

[VER TECTONICS INDICES NOVIEMBRE 2008](#)

[VER TECTONICS INDICES DICIEMBRE 2008](#)

(El resumen solo si se consulta en un equipo en red del SGM, activando vínculo en la columna de **accesar**)

**TECTONICS  
AMERICAN GEOPHYSICAL UNION  
VOL. 27**

<b>NOMBRE DEL ARTÍCULO</b>	<b>PUBLICACION No.</b>	<b>ACCESAR</b>
Phanerozoic tectonics of south China block: New insights from the polyphase deformation in the Yunkai massif	Vol. 27, Noviembre 2008	<a href="#">RESUMEN</a>
Numerical modeling on the relationship between thermal uplift and subsequent rapid subsidence: Discussions on the evolution of the Tainan Basin	Vol. 27, Noviembre 2008	<a href="#">RESUMEN</a>
Deep subduction and rapid exhumation: Role of crustal strength and strain weakening in continental subduction and ultrahigh-pressure rock exhumation	Vol. 27, Noviembre 2008	<a href="#">RESUMEN</a>
Tectonic control on sedimentary facies pattern and sediment accumulation rates in the Miocene foreland basin of the southern Alborz mountains, northern Iran	Vol. 27, Noviembre 2008	<a href="#">RESUMEN</a>
Rayleigh-Taylor instability under a shear stress free top boundary condition and its relevance to removal of mantle lithosphere from beneath the Sierra Nevada,	Vol. 27, TC6019 Diciembre 2008	<a href="#">RESUMEN</a>
Pull-apart basin formation and development in narrow transform zones with application to the Dead Sea Basin	Vol. 27, TC6018 Diciembre 2008	<a href="#">RESUMEN</a>
P-T-t deformation framework of an accretionary prism, southern New England Orogen, eastern Australia: Implications for blueschist exhumation and metamorphic switching,	Vol. 27, TC6017, Diciembre 2008	<a href="#">RESUMEN</a>
Styles of extension offshore mid-Norway and implications for mechanisms of crustal thinning at passive margins,	Vol. 27, TC6016 Diciembre 2008	<a href="#">RESUMEN</a>
Geometric model of conjugate faulting in the Gyeongsang Basin, southeast Korea,	Vol. 27, TC6015 Diciembre 2008	<a href="#">RESUMEN</a>
Paleogene building of the Bolivian Orocline: Tectonic	Vol. 27, TC6014	<a href="#">RESUMEN</a>

restoration of the central Andes in 2-D map view,	Diciembre 2008	
Negligible convergence and lithospheric tearing along the Caribbean–South American plate boundary at 64°W,	Vol. 27, TC6013 Diciembre 2008	<a href="#">RESUMEN</a>
Temporal constraints and pulsed Late Cenozoic deformation during the structural disruption of the active Kashi foreland, northwest China,	Vol. 27, TC6012, Diciembre 2008	<a href="#">RESUMEN</a>
Modeling the influence of horizontal advection, deformation, and late uplift on the drainage development in the India-Asia collision zone,	Vol. 27, TC6011, Diciembre 2008	<a href="#">RESUMEN</a>
Apatite single-grain (U-Th)/He data from Heimefrontfjella, East Antarctica: Indications for differential exhumation related to glacial loading?	Vol. 27, TC6010 Diciembre 2008	<a href="#">RESUMEN</a>
Tectonic control on the late stage exhumation of the Aar Massif (Switzerland): Constraints from apatite fission track and (U-Th)/He data,	Vol. 27, TC6009 Diciembre 2008	<a href="#">RESUMEN</a>
Geodynamic evolution of the SW Variscides: Orogenic collapse shown by new tectonometamorphic and isotopic data from western Ossa-Morena Zone, SW Iberia	Vol. 27, TC6008 Diciembre 2008	<a href="#">RESUMEN</a>
Tectonic evolution of the Selkirk fan, southeastern Canadian Cordillera: A composite Middle Jurassic–Cretaceous orogenic structure	Vol. 27, TC6007 Diciembre 2008	<a href="#">RESUMEN</a>
Tectonic history of northern New Caledonia Basin from deep offshore seismic reflection: Relation to late Eocene obduction in New Caledonia, southwest Pacific	Vol. 27, TC6006 Diciembre 2008	<a href="#">RESUMEN</a>
Stress field evolution in the northwest Himalayan syntaxis, northern Pakistan	Vol. 27, TC6005 Diciembre 2008	<a href="#">RESUMEN</a>

***Economic Geology Bulletin of the Society of Economic Geologists***. SEG V.103 No. 4 Julio-Agosto 2008, V.103 No. 5 Septiembre-Octubre 2008 y V.103 No. 6 Noviembre-Diciembre 2008.

[ACCESAR AL VOL. 103 No. 4](#)

[ACCESAR AL VOL. 103 No. 5](#)

[ACCESAR AL VOL. 103 No. 6](#)

(En texto completo solo si se consulta en un equipo en red del SGM, activando vínculo en la columna de **accesar**)

**ECONOMIC GEOLOGY  
BULLETIN OF THE SOCIETY OF ECONOMIC GEOLOGISTS  
VOL. 103**

ARTÍCULO	PUBLICACIÓN No.	ACCESAR
Major Gold Deposits and Belts of the North and South American Cordillera: Distribution, Tectonomagmatic Settings, and Metallogenic Considerations	No.4, pp. 663-687	<a href="#">ARTÍCULO</a>
Diatreme Breccias at the Kelian Gold Mine, Kalimantan, Indonesia:	No.4, pp. 689-716	<a href="#">ARTÍCULO</a>

Precursors to Epithermal Gold Mineralization		
Hydrothermal Breccias and Veins at the Kelian Gold Mine, Kalimantan, Indonesia: Genesis of a Large Epithermal Gold Deposit	No.4, pp. 717-757	<a href="#">ARTÍCULO</a>
Geology of the Cove Mine, Lander County, Nevada, and a Genetic Model for the McCoy-Cove Hydrothermal System	No.4, pp. 759-782	<a href="#">ARTÍCULO</a>
Sulfur Isotope Evidence for Thermochemical Reduction of Dissolved Sulfate in Mississippi Valley-Type Zinc-Lead Mineralization, Bongara Area, Northern Peru	No.4, pp. 783-799	<a href="#">ARTÍCULO</a>
Metamorphism, Fluid Flux, and Fluid Evolution Relative to Gold Mineralization in the Hutti-Maski Greenstone Belt, Eastern Dharwar Craton, India	No.4, pp. 801-827	<a href="#">ARTÍCULO</a>
Linking Mineral Deposit Models to Quantitative Risk Analysis and Decision-Making in Exploration	No.4, pp. 829-850	<a href="#">ARTÍCULO</a>
Geochronology of Epithermal Au-Ag Mineralization, Magmatic-Hydrothermal Alteration, and Supergene Weathering in the El Peñón District, Northern Chile	No.4, pp. 851-864	<a href="#">ARTÍCULO</a>
Identification of Ammonium-Bearing Minerals by Shortwave Infrared Reflectance Spectroscopy at the Esquel Gold Deposit, Argentina	No.4, pp. 865-869	<a href="#">ARTÍCULO</a>
Granite Genesis: In-Situ Melting and Crustal Evolution (G-N. Chen and R. Grapes)	No.4, pp. 871	<a href="#">ARTÍCULO</a>
Exploration Modeling of Base Metal Deposits	No.4, pp. 872	<a href="#">ARTÍCULO</a>
The Composition of Magmatic-Hydrothermal Fluids in Barren and Mineralized Intrusions	No.5, pp. 877-90	<a href="#">ARTÍCULO</a>
The Empire Cu-Zn Mine, Idaho: Exploration Implications of Unusual Skarn Features Related to High Fluorine Activity	No.5, pp. 909-938	<a href="#">ARTÍCULO</a>
Roots Zones of Porphyry Systems: Extending the Porphyry Model to Depth	No.5, pp. 939-956	<a href="#">ARTÍCULO</a>
Geology and Fluid Characteristics of the Mina Velha and Mandiocal Orebodies and Implications for the Genesis of the Orogenic Chega Tudo Gold Deposit, Gurupi Belt, Brazil	No.5, pp. 957-980	<a href="#">ARTÍCULO</a>
Archean Komatiitic Sill-hosted Chromite Deposits in the Zimbabwe Craton	No.5, pp. 981-1004	<a href="#">ARTÍCULO</a>
Footwall-type Cu-Ni-PGE Mineralization in the Broken Hammer Area, Wisner Township, North Range, Sudbury Structure	No.5, pp. 1005-1028	<a href="#">ARTÍCULO</a>
Controls on Ore Shoot Locations and Geometries at the Stawell Gold Mine, Southeastern Australia: Contributions of the Volcanosedimentary, Alteration, and Structural Architecture	No.5, pp. 1029-1041	<a href="#">ARTÍCULO</a>
Quantitative Analysis of Tin- and Tungsten-Bearing Sheeted Vein Systems	No.5, pp. 1043-1056	<a href="#">ARTÍCULO</a>
Geology of the Giant Sudbury Polymetallic Mining Camp, Ontario, Canada	No.5, pp. 1057-1077	<a href="#">ARTÍCULO</a>
Earth's Oldest Rocks (M.J. Van Kranendonk, R.H. Smithies, and V.C. Bennett, eds.)	No.5, pp. 1079-1086	<a href="#">ARTÍCULO</a>
Interesting Papers in Other Journals	No.5, pp. 1087-1089	<a href="#">ARTÍCULO</a>
Geologic Map of the Sudbury Mining Camp and Surrounding Area, Ontario, Canada	No.5, pp. ---	<a href="#">ARTÍCULO</a>
J. A. Ayer, P. C. Thurston, and B. Lafrance	No.6, pp. 1091-1096	<a href="#">ARTÍCULO</a>
Depositional Gaps in Abitibi Greenstone Belt Stratigraphy: A Key to Exploration for Syngenetic Mineralization	No.6, pp. 1097-1134	<a href="#">ARTÍCULO</a>

Tectonic and Metallogenic Implications of the Regional Seismic Profiles in the Timmins Mining Camp	No.6, pp. 1135-1150	<a href="#">ARTÍCULO</a>
Pericontinental Crustal Growth of the Southwestern Abitibi Subprovince, Canada—U-Pb, Hf, and Nd Isotope Evidence	No.6, pp. 1151-1184	<a href="#">ARTÍCULO</a>
Geologic Setting of Volcanic-Associated Massive Sulfide Deposits in the Kamiskotia Area, Abitibi Subprovince, Canada	No.6, pp. 1185-1202	<a href="#">ARTÍCULO</a>
The Ben Nevis Volcanic Complex, Ontario, Canada: Part of the Late Volcanic Phase of the Blake River Group, Abitibi Subprovince	No.6, pp. 1219-1241	<a href="#">ARTÍCULO</a>
Synvolcanic and Younger Plutonic Rocks from the Blake River Group: Implications for Regional Metallogenesis	No.6, pp. 1243-1268	<a href="#">ARTÍCULO</a>
Komatiitic Sills and Multigenerational Peperite at Dundonald Beach, Abitibi Greenstone Belt, Ontario: Volcanic Architecture and Nickel Sulfide Distribution	No.6, pp. 1269-1284	<a href="#">ARTÍCULO</a>
The Timmins-Porcupine Gold Camp, Ontario: Anatomy of an Archean Greenstone Belt and Ontogeny of Gold Mineralization	No.6, pp. 1285-1308	<a href="#">ARTÍCULO</a>
Lithogeochemical and Stratigraphic Controls on Gold Mineralization within the Metavolcanic Rocks of the Hoyle Pond Mine, Timmins, Ontario	No.6, pp. 1341-1363	<a href="#">ARTÍCULO</a>
Spherulitic Aphyric Pillow-Lobe Metatholeiitic Dacite Lava of the Timmins Area, Ontario, Canada: A New Archean Facies Formed from Superheated Melts	No.6, pp. 1365-1378	<a href="#">ARTÍCULO</a>
Geological Atlas of Africa with Notes on Stratigraphy, Tectonics, Economic Geology, Geohazards, Geosites and Geoscientific Education of Each Country.	No.6, pp. 1379	<a href="#">ARTÍCULO</a>
The Occurrence of Diamonds in South Africa (M.G.C. Wilson, N. McKenna, and M.D. Lynn)	No.6, pp. 1380	<a href="#">ARTÍCULO</a>
Books Received	No.6, pp. 1381	<a href="#">ARTÍCULO</a>
2007 Awards and Medals: Penrose Gold Medal, Waldemar Lindgren Award, Marsden Award	No.6, pp. 1383-1388	<a href="#">ARTÍCULO</a>

[Ore Geology Reviews](#). International Association on the Genesis of Ore Deposits. Vol. 34, No. 4, pp. 521-612 - Diciembre 2008

[ACCESAR AL CONTENIDO Vol. 34 No. 4](#)

(EL resumen solo si se consulta en un equipo en red del SGM, activando vínculo en la columna de **accesar**)

<b>ORE GEOLOGY REVIEWS INTERNATIONAL ASSOCIATION ON THE GENESIS OF ORE DEPOSITS VOL. 34</b>		
<b>ARTÍCULO</b>	<b>PUBLICACIÓN</b>	<b>ACCESAR</b>
Karst bauxite deposits in the Zagros Mountain Belt, Iran	No. 4 pp. 521-532	En el contenido, se consulta en PREVIEW: <a href="#">RESUMEN, FIGURAS/TABLAS Y REFERENCIAS</a>
Antimony quartz and antimony-gold quartz veins from northern Portugal	No. 4 pp. 533-546	En el contenido, se consulta en PREVIEW: <a href="#">RESUMEN, FIGURAS/TABLAS Y REFERENCIAS</a>
Mineralogy and composition of Kuroko deposits from northeastern Honshu and their possible modern analogues from the Izu-	No. 4 pp. 547-560	En el contenido, se consulta en PREVIEW:

Ogasawara (Bonin) Arc south of Japan: Implications for mode of formation		<b>RESUMEN, FIGURAS / TABLAS Y REFERENCIAS</b>
The sandstone-hosted stratiform copper mineralization at Mwitapile and its relation to the mineralization at Lufukwe, Lufilian foreland, Democratic Republic of Congo	No. 4 pp. 561-579	En el contenido, se consulta en PREVIEW: <b>RESUMEN, FIGURAS / TABLAS Y REFERENCIAS</b>
Role of fluid mixing and wallrock sulfidation in gold mineralization at the Semna mine area, central Eastern Desert of Egypt: Evidence from hydrothermal alteration, fluid inclusions and stable isotope data	No. 4 pp. 580-596	En el contenido, se consulta en PREVIEW: <b>RESUMEN, FIGURAS / TABLAS Y REFERENCIAS</b>
Role of basement in epithermal deposits: The Kushikino and Hishikari gold deposits, southwestern Japan	No. 4 pp. 597-609	En el contenido, se consulta en PREVIEW: <b>RESUMEN, FIGURAS / TABLAS Y REFERENCIAS</b>
Magmatism and Metallogeny of the Altai and Adjacent Large Igneous Provinces with an Introductory Essay on the Altai, Seltmann, R., Borisenko, A., Fedoseev, G. (Eds.), International Association on the Genesis of Ore Deposits (IAGOD), Guidebook Series 16, Centre for Russian and Central EurAsian Mineral Studies (CERCAMS), Natural History Museum, London, U.K., 2007	No. 4 pp. 610-611	En el contenido, se consulta en PREVIEW: <b>RESUMEN, FIGURAS / TABLAS Y REFERENCIAS</b>
Erratum to "Geochemistry of cassiterite and wolframite from tin and tungsten quartz veins in Portugal"	No. 4 pp. 612.	En el contenido, se consulta en PREVIEW: <b>RESUMEN, FIGURAS / TABLAS Y REFERENCIAS</b>

**Mineralium Deposita**. Official Bulletin of the Society for Geology Applied to Mineral Deposits. Noviembre 2008. Springer

**ACCESAR AL CONTENIDO Vol. 43 No.8**

(En texto completo solo si se consulta en un equipo en red del SGM, activando vínculo en la columna de ACCESAR)

**MINERALIUM DEPOSITA.  
OFICIAL BULLETIN OF THE SOCIETY FOR GEOLOGY APPLIED  
TO MINERAL DEPOSITS  
VOL. 43**

ARTÍCULO	PUBLICACIÓN	ACCESAR
Relationship between footwall composition, crustal contamination, and fluid–rock interaction in the Platreef, Bushveld Complex, South Africa	No. 8 pp. 825-848	<b><u>ARTÍCULO</u></b>
Mineralogical, petrological, and geochemical studies of the Limahe mafic–ultramafic intrusion and associated Ni–Cu sulfide ores, SW China	No. 8 pp. 849- 872	<b><u>ARTÍCULO</u></b>
Chronology of the Pueblo Viejo epithermal gold–silver deposit, Dominican Republic: formation in an Early Cretaceous intra-oceanic island arc and burial under ophiolite	No. 8 pp. 873-889	<b><u>ARTÍCULO</u></b>
Age and depositional environment of the Draa Sfar massive sulfide deposit, Morocco	No. 8 pp. 891-911	<b><u>ARTÍCULO</u></b>

Mineralogy, textures, and whole-rock geochemistry of advanced argillic alteration: Hugo Dummett porphyry Cu–Au deposit, Oyu Tolgoi mineral district, Mongolia	No. 8 pp. 913-932	<a href="#">ARTÍCULO</a>
Genesis of secondary uranium minerals associated with jasperoid veins, El Erediya area, Eastern Desert, Egypt	No. 8 pp. 933-944	<a href="#">ARTÍCULO</a>

**[AAPG Bulletin](#)**: An International Geological Organization. American Association of Petroleum Geologists.

**[ACCESAR AL CONTENIDO Vol. 92 No. 11](#)** Noviembre 2008.

**[ACCESAR AL CONTENIDO Vol. 92 No. 12](#)** Diciembre 2008.

(En texto completo solo si se consulta en un equipo en red del SGM, activando vínculo en la columna de **acesar**)

**AAPG BULLETIN  
VOL. 92**

ARTÍCULO	PUBLICACIÓN	ACCESAR
Fault facies modeling: Technique and approach for 3-D conditioning and modeling of faulted grids	No. 11 pp. 1457-1478	<a href="#">ARTÍCULO</a>
Major structural elements of the Miocene section, Burgos Basin, northeastern Mexico	No. 11 pp 1479-1499	<a href="#">ARTÍCULO</a>
Miocene chronostratigraphy, paleogeography, and play framework of the Burgos Basin, southern Gulf of Mexico	No. 11 pp 1501-1535	<a href="#">ARTÍCULO</a>
Toward more accurate quartz cement models: The importance of euhedral vs. noneuhedral growth rates	No. 11 pp 1537-1563.	<a href="#">ARTÍCULO</a>
Deep channels in the Cenomanian-Danian Chalk Group of the German North Sea sector: Evidence of strong constructional and erosional bottom currents and effect on reservoir quality distribution	No. 11 pp 1565-1586	<a href="#">ARTÍCULO</a>
Previews	No. 11 pp. ii	<a href="#">ARTÍCULO</a>
Memorials	No. 11 Pp 1587-1589	<a href="#">ARTÍCULO</a>
Structural evaluation of column-height controls at a toe-thrust discovery, deep-water Niger delta	No. 12 pp 1615-1638	<a href="#">ARTÍCULO</a>
Hydrocarbon migration detected by regional temperature field variations, Beaufort-Mackenzie Basin, Canada	No. 12 pp 1639-1653	<a href="#">ARTÍCULO</a>
Sequence stratigraphic analysis of Jurassic and Cretaceous strata and petroleum exploration in the central and eastern Gulf coastal plain, United States	No. 12 pp 1655-1686.	<a href="#">ARTÍCULO</a>
The 2008 Annual Report	No. 12 pp. 1689-1737	<a href="#">ARTÍCULO</a>
2008 Index	No. 12 pp. 1738-1748	<a href="#">ARTÍCULO</a>
Previews	No. 12 pp. ii	<a href="#">ARTÍCULO</a>
Associate Editor Kudos	No. 12 pp. iv-xii	<a href="#">ARTÍCULO</a>
Memorials	No. 12 pp. 1687	<a href="#">ARTÍCULO</a>
Book Reviews	No. 12 pp. 1688	<a href="#">ARTÍCULO</a>

[International Journal of Coal Geology](#). Elsevier. ScienceDirect, Noviembre y Diciembre 2008.

[ACCESAR AL Vol. 76 No. 3](#)

[ACCESAR AL Vol. 76 No. 4](#)

(En texto completo solo si se consulta en un equipo en red del SGM, activando vínculo en la columna de **accesar**)

**INTERNATIONAL JOURNAL OF COAL GEOLOGY**  
**VOL. 76**

ARTÍCULO	PUBLICACIÓN	ACCESAR
Editorial Board	Vol. 76 No. 3, pp. <i>IFC</i>	<a href="#">ARTÍCULO</a>
Genesis and rank distribution of Upper Carboniferous coal basins in the Cantabrian Mountains, Northern Spain	Vol. 76 No. 3, pp. 187-204	<a href="#">ARTÍCULO</a>
Variations in pore characteristics in high volatile bituminous coals: Implications for coal bed gas content	Vol. 76 No. 3, pp. 205-216	<a href="#">ARTÍCULO</a>
Uncertainty assessment of coal tonnage by spatial modeling of seam distribution and coal quality	Vol. 76 No. 3, pp. 217-226	<a href="#">ARTÍCULO</a>
Chemical characterization of feed coals and combustion-by-products from Brazilian power plants	Vol. 76 No. 3, pp. 227-236	<a href="#">ARTÍCULO</a>
Primary tar of different coking coal ranks	Vol. 76 No. 3, pp. 237-242	<a href="#">ARTÍCULO</a>
The composition of acids in bitumen and in products from saponification of kerogen: Investigation of their role as connecting kerogen and mineral matrix	Vol. 76 No. 3, pp. 243-249	<a href="#">ARTÍCULO</a>
Editorial Board	Vol. 76 No. 4, pp. <i>IFC</i>	<a href="#">ARTÍCULO</a>
Farewell	Vol. 76 No. 4, pp. 251-252	<a href="#">ARTÍCULO</a>
Metalliferous coals: A review of the main genetic and geochemical types	Vol. 76 No. 4, pp. 253-289	<a href="#">ARTÍCULO</a>
Structural characterization of vitrinite-rich and inertinite-rich Permian-aged South African bituminous coals	Vol. 76 No. 4, pp. 290-300	<a href="#">ARTÍCULO</a>
Mineral matter in coals and their reactions during coking	Vol. 76 No. 4, pp. 301-308	<a href="#">ARTÍCULO</a>
Geochemistry of rare earth elements in a marine influenced coal and its organic solvent extracts from the Antaibao mining district, Shanxi, China	Vol. 76 No. 4, pp. 309-317	<a href="#">ARTÍCULO</a>
Mineralogical and compositional characteristics of Late Permian coals from an area of high lung cancer rate in Xuan Wei, Yunnan, China: Occurrence and origin of quartz and chamosite	Vol. 76 No. 4, pp. 309-317	<a href="#">ARTÍCULO</a>

[Elements: An International Magazine of Mineralogy, Geochemistry, and Petrology](#). Octubre 2008

[TABLA DE ACONTENIDO Vol. 4, No. 5,](#)

(El texto completo se puede consultar físicamente en la Biblioteca del SGM)

**ELEMENTS**  
**VOL. 4**

ARTÍCULO	PUBLICACIÓN	ACCESAR
Carbon Dioxide Sequestration A Solution to a Global Problem	No. 5, p. 305	<a href="#">RESUMEN</a>

	Octubre 2008	
CO <sub>2</sub> Capture and Transport	No. 5, p. 311 Octubre 2008	<a href="#">RESUMEN</a>
Ocean Storage of CO <sub>2</sub>	No. 5, p. 319 Octubre 2008	<a href="#">RESUMEN</a>
CO <sub>2</sub> Sequestration in Deep Sedimentary Formations	No. 5, p. 325 Octubre 2008	<a href="#">RESUMEN</a>
Mineral Carbonation of CO <sub>2</sub>	No. 5, p. 333 Octubre 2008	<a href="#">RESUMEN</a>

[Environmental Geology](#). International Journal of Geosciences. Springer

[Vol. 56 No. 1, Noviembre 2008](#)

[Vol. 56 No. 2, Noviembre 2008](#)

[Vol. 56 No. 3-4, Diciembre 2008](#)

(En texto completo solo si se consulta en un equipo en red del SGM, activando vínculo en la columna de ACCESAR)

**ENVIRONMENTAL GEOLOGY**  
**Vol. 56 Nos. 1, 2, 3 y 4**

ARTÍCULO	PUBLICACIÓN	ACCESAR
Study on the runoff and sediment-producing effects of precipitation in headwater areas of the Yangtze River and Yellow River, China	No. 1 p. 1-9 Noviembre 2008	<a href="#">ARTÍCULO</a>
Environmental research of groundwater in the urban and suburban areas of Attica region, Greece	No. 1 p. 11-18 Noviembre 2008	<a href="#">ARTÍCULO</a>
Neural network prediction of nitrate in groundwater of Harran Plain, Turkey	No. 1 p. 19-25 Noviembre 2008	<a href="#">ARTÍCULO</a>
Detailed hydraulic head profiles as essential data for defining hydrogeologic units in layered fractured sedimentary rock	No. 1 p. 27-44 Noviembre 2008	<a href="#">ARTÍCULO</a>
The relationship between hydrodynamic properties and weathering of soils derived from volcanic rocks, Galapagos Islands (Ecuador)	No. 1 p. 45-58 Noviembre 2008	<a href="#">ARTÍCULO</a>
Glacier change and glacier runoff variation in the Tuotuo River basin, the source region of Yangtze River in western China	No. 1 p. 59-68 Noviembre 2008	<a href="#">ARTÍCULO</a>
An approximation to short-term evolution and sediment transport pathways along the littoral of Cadiz Bay (SW Spain)	No. 1 p. 69-79 Noviembre 2008	<a href="#">ARTÍCULO</a>
Characterisation of aerosol from Santiago, Chile: an integrated PIXE-SEM-EDX study	No. 1 p. 81-95 Noviembre 2008	<a href="#">ARTÍCULO</a>
Prediction of ground vibrations resulting from the blasting operations in an open-pit mine by adaptive neuro-fuzzy inference system	No. 1 p. 97-107 Noviembre 2008	<a href="#">ARTÍCULO</a>
Reclamation planning for coal mine in Istanbul, Agacli Region	No. 1 p. 109-117 Noviembre 2008	<a href="#">ARTÍCULO</a>
Barite and barium in sediments and coral skeletons around the hydrocarbon exploration drilling site in the Træna Deep, Norwegian Sea	No. 1 p. 119-129 Noviembre 2008	<a href="#">ARTÍCULO</a>
Land-based sources of pollution along the Izmit Bay and their effect on the coastal waters	No. 1 p. 131-138 Noviembre 2008	<a href="#">ARTÍCULO</a>
The double solid reactant method: II. An application to the shallow groundwaters of the Porto Plain, Vulcano Island (Italy)	No. 1 p. 139-158 Noviembre 2008	<a href="#">ARTÍCULO</a>
Temporal variations of fluoride concentration in Isparta public water system and health impact assessment (SW-Turkey)	No. 1 p. 159-170 Noviembre 2008	<a href="#">ARTÍCULO</a>
Comparison of dissolution under oxic acid drainage conditions for	No. 1 p. 171-182	<a href="#">ARTÍCULO</a>

eight sedimentary and hydrothermal pyrite samples	Noviembre 2008	
Modeling of water–rock interactions in an aquitard of sandy clay in the coastal area near Beihai, China	No. 1 p. 183-188 Noviembre 2008	<a href="#">ARTÍCULO</a>
Determination of historical emission of heavy metals into the atmosphere: Celje case study	No. 1 p. 189-196 Noviembre 2008	<a href="#">ARTÍCULO</a>
B, As, and F contamination of river water due to wastewater discharge of the Yangbajing geothermal power plant, Tibet, China	No. 1 p. 197-205 Noviembre 2008	<a href="#">ARTÍCULO</a>
Distribution and enrichment of trace metals in marine sediments of Bay of Bengal, off Ennore, south-east coast of India	No. 1 p. 207-217 Noviembre 2008	<a href="#">ARTÍCULO</a>
Upcoming international events	No. 1 p. 219-224 Noviembre 2008	<a href="#">ARTÍCULO</a>
Geochemistry and biogeochemistry of rare earth elements in a surface environment (soil and plant) in South China	No. 2 p. 225-235 Noviembre 2008	<a href="#">ARTÍCULO</a>
Precipitation of iron in microbial mats of the spring waters of Borra Caves, Vishakapatnam, India: some geomicrobiological aspects	No. 2 p. 237-243 Noviembre 2008	<a href="#">ARTÍCULO</a>
Prediction of groundwater inrush into coal mines from aquifers underlying the coal seams in China: vulnerability index method and its construction	No. 2 p. 245-254 Noviembre 2008	<a href="#">ARTÍCULO</a>
Slope stability analysis: a support vector machine approach	No. 2 p. 255-267 Noviembre 2008	<a href="#">ARTÍCULO</a>
Factors controlling building susceptibility to earthquakes: 14-year recordings of Islamic archaeological sites in Old Cairo, Egypt: a case study	No. 2 p. 269-279 Noviembre 2008	<a href="#">ARTÍCULO</a>
Distribution of fluoride in groundwater of Maku area, northwest of Iran	No. 2 p. 281-287 Noviembre 2008	<a href="#">ARTÍCULO</a>
Effects of groundwater level fluctuation on its chemical composition in karst soils of Lithuania	No. 2 p. 289-297 Noviembre 2008	<a href="#">ARTÍCULO</a>
Anthropogenic affects on lake sedimentation process: a case study from Lake Sapanca, NW Turkey	No. 2 p. 299-307 Noviembre 2008	<a href="#">ARTÍCULO</a>
Concentrations of rare earth elements in topsoil from East China	No. 2 p. 309-316 Noviembre 2008	<a href="#">ARTÍCULO</a>
Fluoride ion contamination in the groundwater of Mithi sub-district, the Thar Desert, Pakistan	No. 2 p. 317-326 Noviembre 2008	<a href="#">ARTÍCULO</a>
Environmental evaluation of elemental cesium and strontium contents and their isotopic activity concentrations in different soils of La Mancha (Central Spain)	No. 2 p. 327-334 Noviembre 2008	<a href="#">ARTÍCULO</a>
Natural hazards in Central Java Province, Indonesia: an overview	No. 2 p. 335-351 Noviembre 2008	<a href="#">ARTÍCULO</a>
<sup>226</sup> Ra, <sup>232</sup> Th and <sup>40</sup> K activities in soils of Cuihua Mountain National Geological Park, China	No. 2 p. 353-357 Noviembre 2008	<a href="#">ARTÍCULO</a>
Nebkha development and its relationship to environmental change in the Alaxa Plateau, China	No. 2 p. 359-365 Noviembre 2008	<a href="#">ARTÍCULO</a>
The growth of “black crusts” on calcareous building stones in Palermo (Sicily): a first appraisal of anthropogenic and natural sulphur sources	No. 2 p. 367-380 Noviembre 2008	<a href="#">ARTÍCULO</a>
Groundwater arsenic contamination in Manipur, one of the seven North-Eastern Hill states of India: a future danger	No. 2 p. 381-390 Noviembre 2008	<a href="#">ARTÍCULO</a>
Effect of organic matter on DOM sorption on lake sediments	No. 2 p. 391-398 Noviembre 2008	<a href="#">ARTÍCULO</a>
Floodplain sediments of the 2002 catastrophic flood at the Vltava (Moldau) River and its tributaries: mineralogy, chemical composition, and post-sedimentary evolution	No. 2 p. 399-412 Noviembre 2008	<a href="#">ARTÍCULO</a>
Fluorine speciation in topsoils of three active volcanoes of Sicily	No. 2 p. 413-423	<a href="#">ARTÍCULO</a>

(Italy)	Noviembre 2008	
Magnetic measurements and pollutants of sediments from Cauvery and Palaru River, India	No. 2 p. 425-437 Noviembre 2008	<a href="#">ARTÍCULO</a>
Catchment scale spatial variability of soil salt content in agricultural oasis, Northwest China	No. 2 p. 439-446 Noviembre 2008	<a href="#">ARTÍCULO</a>
Reviews on books, internet and scientific media	No. 2 p. 447-448 Noviembre 2008	<a href="#">ARTÍCULO</a>
International viewpoint and news	No. 2 p. 449-450 Noviembre 2008	<a href="#">ARTÍCULO</a>
Monument futures: climate change, air pollution, decay and conservation—the Wolf-Dieter Grimm-volume	No. 3-4 p. 451-453 Diciembre 2008	<a href="#">ARTÍCULO</a>
Predicting twenty-first century recession of architectural limestone in European cities	No. 3-4 p. 455-461 Diciembre 2008	<a href="#">ARTÍCULO</a>
Millennium-long recession of limestone facades in London	No. 3-4 p. 463-471 Diciembre 2008	<a href="#">ARTÍCULO</a>
Marble bowing: comparative studies of three different public building facades	No. 3-4 p. 473-494 Diciembre 2008	<a href="#">ARTÍCULO</a>
Weathering and durability of the Goldsworthy Chalk Stones, South Downs, West Sussex, England	No. 3-4 p. 495-506 Diciembre 2008	<a href="#">ARTÍCULO</a>
Initial stages of carbonate weathering: climate chamber studies under realistic pollution conditions	No. 3-4 p. 507-519 Diciembre 2008	<a href="#">ARTÍCULO</a>
Testing the durability of limestone for Cathedral façade restoration	No. 3-4 p. 521-528 Diciembre 2008	<a href="#">ARTÍCULO</a>
Clay swelling mechanism in clay-bearing sandstones	No. 3-4 p. 529-534 Diciembre 2008	<a href="#">ARTÍCULO</a>
Experimental and numerical study of hygro-thermo-mechanical properties of “Schilfsandstein” from Baden-Württemberg	No. 3-4 p. 535-546 Diciembre 2008	<a href="#">ARTÍCULO</a>
Influence of surface heterogeneities of building granite on its thermal response and its potential for the generation of thermoclasty	No. 3-4 p. 547-560 Diciembre 2008	<a href="#">ARTÍCULO</a>
Modelling the physical and chemical changes in roofing slate caused by weathering processes	No. 3-4 p. 561-569 Diciembre 2008	<a href="#">ARTÍCULO</a>
Modifications of the porous network of sandstone accompanying the formation of black varnish	No. 3-4 p. 571-582 Diciembre 2008	<a href="#">ARTÍCULO</a>
Black crusts on travertine: factors controlling development and stability	No. 3-4 p. 583-594 Diciembre 2008	<a href="#">ARTÍCULO</a>
Deposition of sulfur dioxide to building stones: the influence of the ambient concentration on the deposition velocity	No. 3-4 p. 595-603 Diciembre 2008	<a href="#">ARTÍCULO</a>
Crystallization of sodium sulfate salts in limestone	No. 3-4 p. 605-621 Diciembre 2008	<a href="#">ARTÍCULO</a>
Non-destructive infrared analyses: a method for provenance analyses of sandstones	No. 3-4 p. 623-630 Diciembre 2008	<a href="#">ARTÍCULO</a>
Development of a biocidal treatment regime to inhibit biological growths on cultural heritage: BIODAM	No. 3-4 p. 631-641 Diciembre 2008	<a href="#">ARTÍCULO</a>
Diagnosis of weathering damage on rock-cut monuments in Petra, Jordan	No. 3-4 p. 643-675 Diciembre 2008	<a href="#">ARTÍCULO</a>
Assessment of sandstone deterioration at Ta Keo temple (Angkor): first results and future prospects	No. 3-4 p. 677-688 Diciembre 2008	<a href="#">ARTÍCULO</a>
Aspects of conservation in the excavation site of the Athribis temple in Egypt	No. 3-4 p. 689-697 Diciembre 2008	<a href="#">ARTÍCULO</a>
The behaviour of consolidated volcanic tuffs: weathering	No. 3-4 p. 699-	<a href="#">ARTÍCULO</a>

mechanisms under simulated laboratory conditions	713 Diciembre 2008	
Formulation and characterization of an appropriate lime-based mortar for use with a porous limestone	No. 3-4 p. 715-727 Diciembre 2008	<a href="#">ARTÍCULO</a>
Laboratory simulation showing the influence of salt efflorescence on the weathering of composite building materials	No. 3-4 p. 729-740 Diciembre 2008	<a href="#">ARTÍCULO</a>
Sulfation of calcitic and dolomitic lime mortars in the presence of diesel particulate matter	No. 3-4 p. 741-752  Diciembre 2008	<a href="#">ARTÍCULO</a>
The Market Gate of Miletus: damages, material characteristics and the development of a compatible mortar for restoration	No. 3-4 p. 753-766 Diciembre 2008	<a href="#">ARTÍCULO</a>
Chemical and mineralogical characterisation of weathered historical bricks from the Venice lagoonal environment	No. 3-4 p. 767-775 Diciembre 2008	<a href="#">ARTÍCULO</a>
Photographic monitoring of soiling and decay of roadside walls in central Oxford, England	No. 3-4 p. 777-787 Diciembre 2008	<a href="#">ARTÍCULO</a>
Assessing stone degradation using an integrated database and geographical information system (GIS)	No. 3-4 p. 789-801 Diciembre 2008	<a href="#">ARTÍCULO</a>
Upcoming International Events	No. 3-4 p. 803-808 Diciembre 2008	<a href="#">ARTÍCULO</a>
Reviews on books, internet and scientific media	No. 3-4 p. 809-810 Diciembre 2008	<a href="#">ARTÍCULO</a>
International viewpoint and news	No. 3-4 p. 811-813 Diciembre 2008	<a href="#">ARTÍCULO</a>

Regresar al [CONTENIDO](#)

## OTRAS PUBLICACIONES

[Engineering and Mining Journal](#), *Incorporating: World Mining Equipment*.

Vol. 209, No. 8 Octubre 2008.

Vol. 209, No. 9 Noviembre 2008.

**Contenido:** Puede solicitar cualquier artículo de estos a la Biblioteca

<b>ENGINEERING AND MINING JOURNAL</b> <b>INCORPORATING: WORLD MINING EQUIPMENT.</b> <b>VOL. 209</b>
---

ARTÍCULO	PUBLICACIÓN	FECHA
Regulators Slow BHP-Rio Tinto Offer Process	No. 8 p. 6	Octubre 2008
Farallon Starting Up G-9 Mine in Mexico	No. 8 p. 12	Octubre 2008
South Africa's Gold Production Continues to Decline	No. 8 p. 16	Octubre 2008
Russia to Develop Aluminum Smelter, Power Plant in Libya	No. 8 p. 20	Octubre 2008
Freeport Reports Small Scale Failure at Grasberg	No. 8 p. 22	Octubre 2008
Anglo American Takes 12% Stake in Australian explorer	No. 8 p. 24	Octubre 2008
The Challenges and Potential for West Africa: Despite the high logistics and operating costs involved, mining is booming in this	No. 8 p. 34	Octubre 2008

remote region		
Portable Satellite terminals Connect Remote regions in Real Time: Filling the gap between the dish and hand-held devices, these units are finding new applications in exploration and operations	No. 8 p. 40	Octubre 2008
The ABCs of Pump Selection for Mine Dewatering: Choosing the right size of pump for the job can provide significant benefits in overall performance and cost of operation	No. 8 p. 44	Octubre 2008
Crafting a New Flotation Model: Mineral processing equipment supplier develops new techniques to design flotation circuits that work with a wide range of feed types under ever-changing conditions	No. 8 p. 46	Octubre 2008
Vendors Boot Up a New Generation of Mining Software: From complete mine Management down to the smallest retail of process of machine design, the latest programs are claimed to process and display data easier, faster and more accurately	No. 8 p. 50	Octubre 2008
New Environment, Health and Safety Guidelines for Smelting and Refining: Recently updated standard include a focus on metal and mineral processing practices	No. 8 p. 54	Octubre 2008
New Technology Set to Unlock Low Grade Nordic Mineral Resources	No. 8 p. 58	Octubre 2008
Innovation and Improvisation Keep Talvivaara on Track	No. 8 p. 59	Octubre 2008
AEM pools Canadian and Finnish Experience in Arctic Lapland	No. 8 p. 68	Octubre 2008
Double Act: How Kemi Plans to Underpin Outokumpu's Ferrochrome Expansion	No. 8 p. 72	Octubre 2008
Established Miners Seek Economies of Scale	No. 8 p. 76	Octubre 2008
Mining Technology Suppliers Focus on High Tech Solutions	No. 8 p. 78	Octubre 2008
Global Mineral Processing Firms refine Strategies	No. 8 p. 84	Octubre 2008
Mexico in 2008: Smashing the Stereotypes	No. 8 p. 92	Octubre 2008
Laying Out the Welcome Mat (Coordinador general de Minería y Director del Servicio Geológico Mexicano)	No. 8 p. 94	Octubre 2008
Exploring in México: The Dust Clears, but the Rush Goes On (Director Técnico del Servicio Geológico Mexicano)	No. 8 p. 98	Octubre 2008
Emerging Mid-Caps: Mexico's Newest Producers	No. 8 p. 104	Octubre 2008
Mexico's Miners: Giants Prosper Amidst a Wave of New Companies	No. 8 p. 110	Octubre 2008
An Interview with Eduardo Luna	No. 8 p. 115	Octubre 2008
An evolving Marketplace	No. 8 p. 116	Octubre 2008
Vale Budgets \$ 14.8 Billion for 2009 Capex	No. 9 p. 4	Noviembre 2008
Rio Tinto Sees China "Pausing for Breath"	No. 9 p. 5	Noviembre 2008
Teck Cominco Restructures and Renames	No. 9 p. 5	Noviembre 2008
Nova Gold Ramping Up at Tock Creek, Reports Donlin Creek Drill Results	No. 9 p. 8	Noviembre 2008
Production from Argyle Diamonds Slated for Late 2010; Global Demand May Drop	No. 9 p. 14	Noviembre 2008
Platinum Australia Commissioning Smokey Hills	No. 9 p. 18	Noviembre 2008
Mechel Commissions Voskhod Chrome Mine	No. 9 p. 20	Noviembre 2008
Coeur Report Updates its Latin American Operations	No. 9 p. 22	Noviembre 2008
Eldorado Gold Exploring in Turkey, China, Brazil and Nevada	No. 9 p. 24	Noviembre 2008
Cleveland Cliffs is Now Cliffs Natural Resources	No. 9 p. 26	Noviembre 2008
Minexpo Brings it All Together: Rarely do thousands of mine owners, managers and operators have the opportunity to mingle with the industry's leading vendors, in one location, over the course of a few days. Minexpo 2008 offered that opportunity and the	No. 9 p. 30	Noviembre 2008

industry responded in record numbers		
Buyers Guide 2009	No. 9 p. 70	Noviembre 2008
Pumping Progress: With a recent flurry on new models adding higher performance and broader functionality to existing product lines, it's safe to say that there's a pump available for any conceivable mining application	No. 9 p. 98	Noviembre 2008
Mining interest returns to a region rich in mineral resources as it tries to put past scandals and political turmoil to rest	No. 9 p. 103	Noviembre 2008
Rim of Fire	No. 9 p. 104	Noviembre 2008
The Philippines Re-Regulate and Re-Vamp Mining	No. 9 p. 107	Noviembre 2008
Níkel Now	No. 9 p. 110	Noviembre 2008
Indonesian Coal Mining	No. 9 p. 113	Noviembre 2008
Indonesian Services: Help is Required	No. 9 p. 118	Noviembre 2008
White Coal Technology	No. 9 p. 121	Noviembre 2008
Making the Most of Underground Communication: Underground mine communications systems are necessarily costly. Using them to boost productivity improves the ROI	No. 9 p. 124	Noviembre 2008

**Industrial Minerals.** Contiene precios de minerales.

**No. 494 Noviembre de 2008**

**No. 495 Diciembre de 2008**

**Contenido:** Puede solicitar cualquiera de estos artículos a la Biblioteca

**INDUSTRIAL MINERALS**  
**Nos. 494 y 495**

ARTÍCULO	PUBLICACIÓN	FECHA
Mica's polished performance: From construction to paints to cosmetics, mica is the most versatile of any industrial mineral. While its main construction end market is experiencing a downturn in Europe and North America, the slump is mitigated by demand from a host of other markets	No. 494 p. 32	Noviembre/2008
Olivine's future in flux: With olivine attracting increasing attention outside of its traditional application as a slag conditioner, is the main market for this strategic mineral about to change?	No. 494 p. 40	Noviembre/2008
Silicas clean up: Toothpaste, tyres and technology are driving demand for specialty silicas. Future trends in end user for these niche silica grades are examined	No. 494 p. 50	Noviembre/2008
Minerals' plastic future: Innovations are expanding markets for mineral use in plastics, demand for which is forecast to rise in the long term. Alison Russell reviews trends in plastics usage and end markets, and industrial mineral consumption	No. 494 p. 58	Noviembre/2008
Mineral son the Move: Letting go of the past: Recent significant improvements in mechanical and pneumatic freight unloading seek to rectify past inefficiencies	No. 494 p. 70	Noviembre/2008
Europe's paper minerals pipeline opens: Imerys' paper coating kaolin shift to Brazil gives rise to 1 m. tpa industrial minerals terminal in Antwerp, Belgium	No. 495 p. 24	Diciembre/2008
Feldspar's Fallow future: Tile and sanitaryware are the main end uses for feldspar, but as the global financial crisis hits construction,	No. 495 p.52	Diciembre/2008

and therefore ceramics demand, are the markets draining away? And will emerging economies and new applications also get flushed?		
Saudi silica scene: Industrial minerals are expected to play an important role in Saudi Arabia's economic diversification policy. Amongst other minerals the country hosts high quality silica sand, quartz, and quartzite deposits. Mian Habib et al examine the country's investment in high purity silica minerals, and highlights supply and demand,	No. 495 p.61	Diciembre/2008
Technical ceramics take off: Developments in the technical ceramic's World have been Fast and furious over the last ten to fifteen years. Alison Russell reviews the industry's new and established markets and outlines where and why minerals are consumed	No. 495 p.66	Diciembre/2008
Processing Quartz & feldspar separation: a dry alternative. Swings in ultra fine GCC grinding	No. 495 p.76	Diciembre/2008
Continental Drift. Reflections on Asean Glass: Murray Lines reviews the outlook for glass packaging, central to glass minerals' prospect in the Asia pacific region.	No. 495 p.94	Diciembre/2008

**Geomimet.****No. 276 Noviembre/Diciembre 2008****Contenido:** Puede solicitarlo a la Biblioteca

<b>GEOMIMET</b> <b>Nos. 276</b>
------------------------------------

ARTÍCULO	PAG.	OBSERVACIONES
Estudio metalúrgico de concentración gravimetría para un mineral aurífero del Estado de Guerrero.	6	Noviembre/Diciembre 2008
Utilización de la simulación Monte Carlo para determinar la probabilidad de ocurrencia de accidentes en las unidades mineras	22	Noviembre/Diciembre 2008
Calidad: De los principios básicos a la certificación	28	Noviembre/Diciembre 2008
Metal del Mes: El mercurio	38	Noviembre/Diciembre 2008
VIII Seminario Internacional Sonora 2008	56	Noviembre/Diciembre 2008

Regresar al [CONTENIDO](#)

## PUBLICACIONES QUE CONTIENEN PRECIOS DE MINERALES

Revistas internacionales que manejan [precios de minerales metálicos e industriales](#) y puede solicitarlas a la biblioteca:

**Platts Metals Week.****Vol. 79 Nos. 43 al 52 Octubre, Noviembre y Diciembre 2008****Contenido:** Puede solicitarlo a la Biblioteca

<b>PLATS METALS WEEK</b> <b>Vol. 79</b>
--

CONTENIDO	Pag.	No.	FECHA
US zinc Premium steady as market holds breath	2	43	Octubre 27/08
More aluminum capacity closures expected: analysts	4		
Titanium maker Allegheny sees profit slip but sales rise	7		
Minor metals retain value as other metals plummet	11		
Shanghai copper prices fall further on weak outlook	12		
Gold ETFs see large inflows amid crisis: WGC	14		
Chinese magnesium prices below cost: producers	2	44	Noviembre 3/08
Tin price outlook mixed: ITRI analyst	4		
SRA awaits revamp, zinc price rebound: CEO	7		
Claude Metals sees gold again targeting record	9		
Century predicts high-cost aluminum smelter closures	14		
Platts monthly average prices for October	17		
Buyers hold out on 2009 silicon contracts	2	45	Noviembre 10/08
Lead premium pressured as contract talks begin	8		
Rotterdam copper premiums fall as supply grows	9		
Japanese magnesium usage in cars to grow	10		
Timah sees 9-month profit rise	12		
Venezuela facing Las Cristinas gold rights legal battle	13		
Analysts speculate on Johnson Matthey review	2	46	Noviembre 17/08
GM renows focus on magnesium over aluminum, steel	5		
Aluminum processor Aleris may see more layoffs	8		
China's copper semis consumption growth slows	11		
Cobalt price sinks amid evaporating demand	15		
Global economic woes pressure zinc premiums	17		
Zinc output cutbacks offer hope amid sinking demand	2	47	Noviembre 24/08
Chinese copper producers welcome tax rebate	4		
Tin is base-metal standout	6		
Trade sees cobalt falling to marginal cost of production	7		
It's now or never for LME's aluminum alloy contract	11		
JM Forecasts 240,000 oz platinum deficit this year	15		
Weak prices hit miner US Silver	2	48	Diciembre 1º/08
Australia's OZ Minerals cuts zinc output	5		
Asian spot copper TC/RCS up	7		
Aluminum producers may lose Q1 contracts	10		
Isolated deals in US ferrous scrap market	13		
China magnesium growth threatened by cutbacks	16		

Magnesium prices pause on their downward slope	2	49	Diciembre 8/08
Indium prices in Japan dip to \$340-360/kg	3		
Automotive in crisis hitting aluminum diecasters	4		
US ferroalloy prices fall as steel output slumps	7		
Cobalt prices find support at \$10/kb	8		
China's 2008 tin output to dip 20% on Yunnan cut	10		
Gold price will rebound above \$1,000/oz in 2009	13	50	Diciembre 15/08
Gold price bounces to a premium over platinum	2		
Indium in Japan falls to \$300-350/Kg	5		
Cobalt bounces despite cheap Russian sales	6		
HudBay/Lundin deal legally flawed, upset likely: Jaguar	8		
Nichols Aluminum shipments dip 8%	10		
Codelco presses on with investment despite slump	12		
Platts Supplement: Carmaking collapse cuts usage	20		
Chinese sport TC/RCs rise on more concentrate supply	2	51	Diciembre 22/08
S. African precious metals sector facing hefty job cuts	4		
S&P cuts ratings on banks, trader and miner	8		
European aluminum spot trade very thin, premiums dip	9		
VW to drop out of Israeli magnesium joint venture	12		
US ferromanganese falls on weak demand	13		
Zinc output cuts put smelters at disadvantage for TCs	15		
China's lead import/export trends may show tightening	2	52	Diciembre 29/08
US copper cathode premiums slip as mills close	4		
Chinese ADC12 aluminum trade lackluster	6		
China's magnesium prices hold on reduced output	9		
European nickel premiums steady as stocks pile up	10		
Gold price to average \$820/oz in 2009: Barclays	13		

**Minerals Price Watch.****Nos. 167 y 168 – Noviembre y Diciembre 2008****Contenido:** Puede solicitarlo a la Biblioteca

<b>MINERALS PRICE WATCH</b> <b>Nos. 167 y 168</b>
--

CONTENIDO	Pag.	No.	FECHA
News	2-7	167	Noviembre 2008
Alumina increases at Almatris	2		
Latest alumina prices	2		
Phosphate rock prices jump	3		
Rare earth mineral movements	4		
Indian barytes prices rise on tender	5		
Soda ash prices still rising globally	6		
New Kaolin supply in Canada	7		
Prices round-up	16		
<b>MPW pricing review</b>	12-15		
<b>Borates market review</b>	8-11		

News	3-7	168	Diciembre 2008
New chemical alumina plant set for 2012	3		
Chromite prices on the rise	4		
All round increases at FMC Lithium	5		
Rare earth mineral movements	4		
Indian barites prices rise on tender	5		
Iodine prices up 5% in October	6		
Global TiO <sub>2</sub> hikes underway	7		
Prices round-up	16		
<b>MPW pricing review</b>	12-15		
<b>Zircon derivatives under price pressure</b>	8-11		

**Nota:** *El Industrial Minerals* también contiene precios de minerales.

Regresar al [CONTENIDO](#)